

A priedas. Eksperimentinių tempiamuju gelžbetoninių elementų apkrovos-deformacijų ir tempiamojo sustandėjimo diagramos

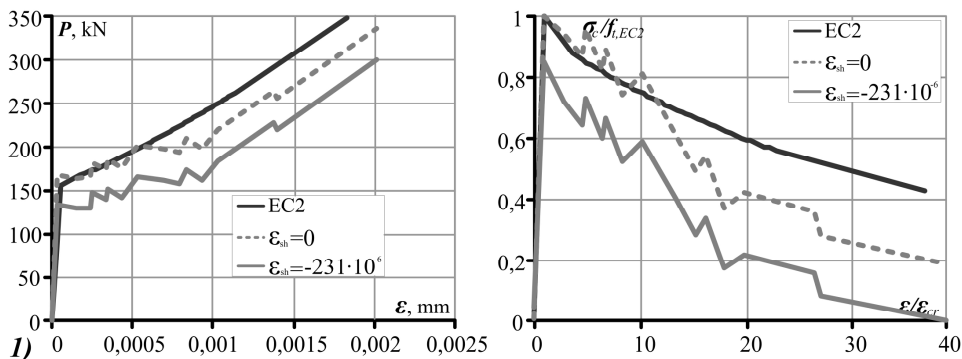


Fig. A.1. Uniaxial tension RC element NS:20M load-strain and stress-strain diagrams

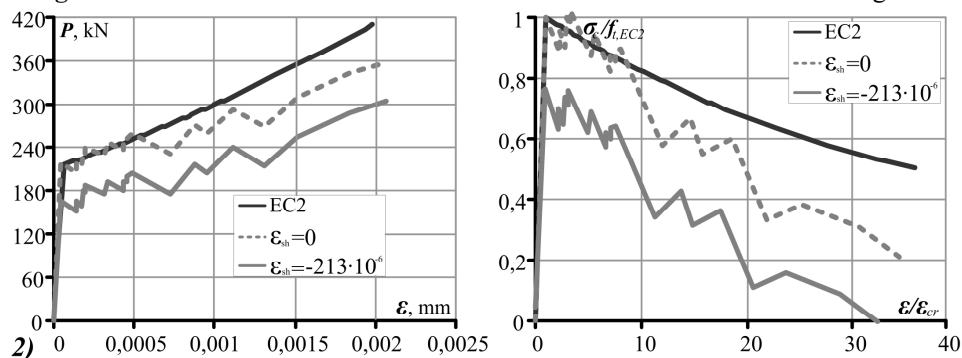


Fig. A.2. Uniaxial tension RC element NS:15M load-strain and stress-strain diagrams

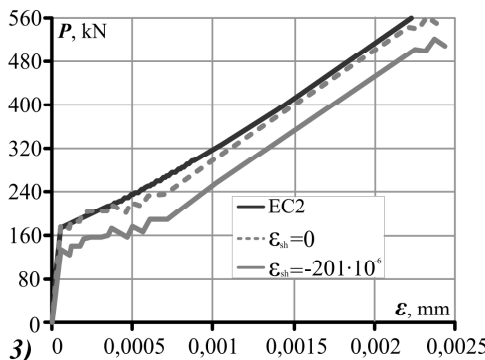


Fig. A.3. Uniaxial tension RC element HS:15M load-strain and stress-strain diagrams

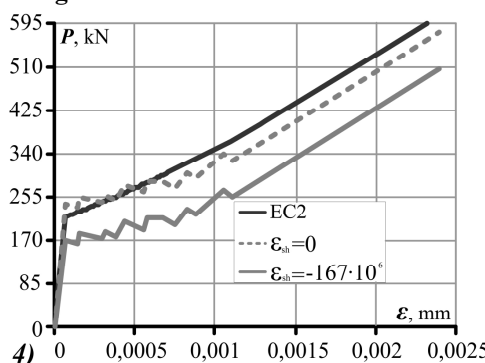


Fig. A.4. Uniaxial tension RC element HS:20M load-strain and stress-strain diagrams

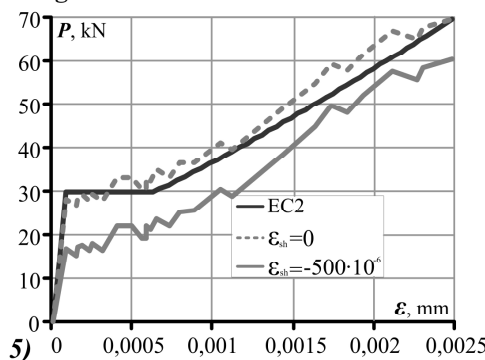
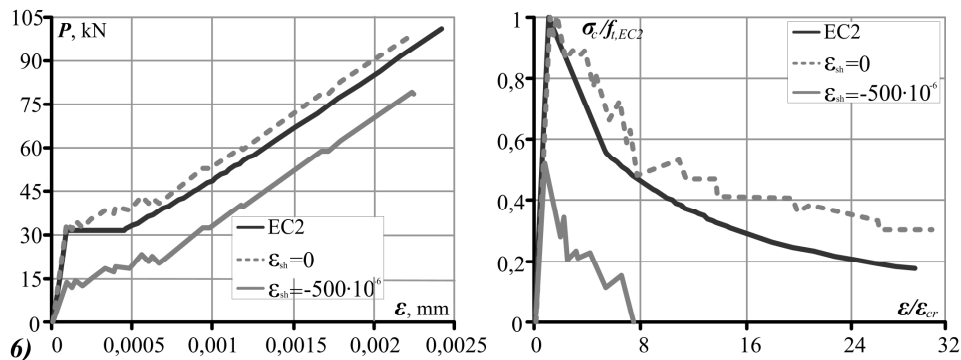
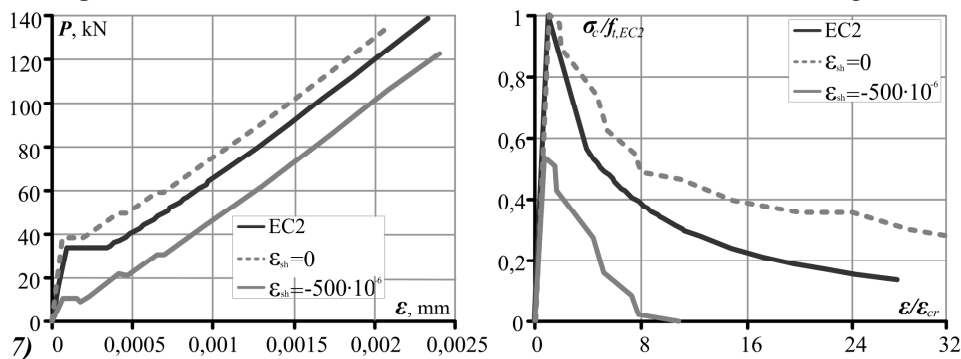


Fig. A.5. Uniaxial tension RC element P4B load-strain and stress-strain diagrams



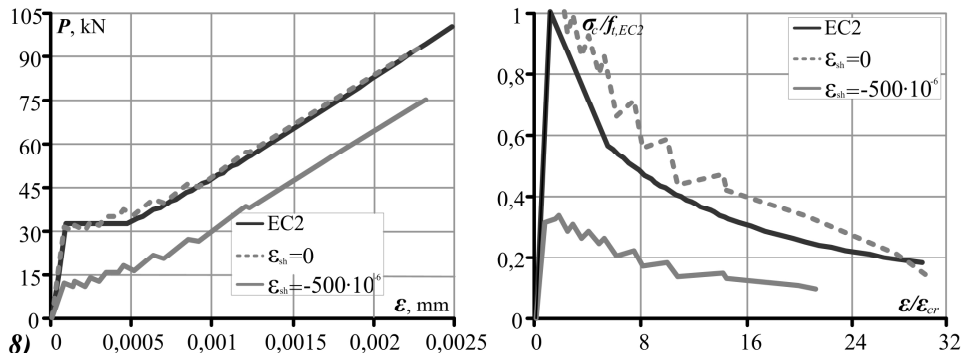
A.6 pav. Tempiamojo gelžbetoninio elemento P5B apkrovos-deformacijų ir įtempių-deformacijų diagramos

Fig. A.6. Unaxial tension RC element P5B load-strain and stress-strain diagrams



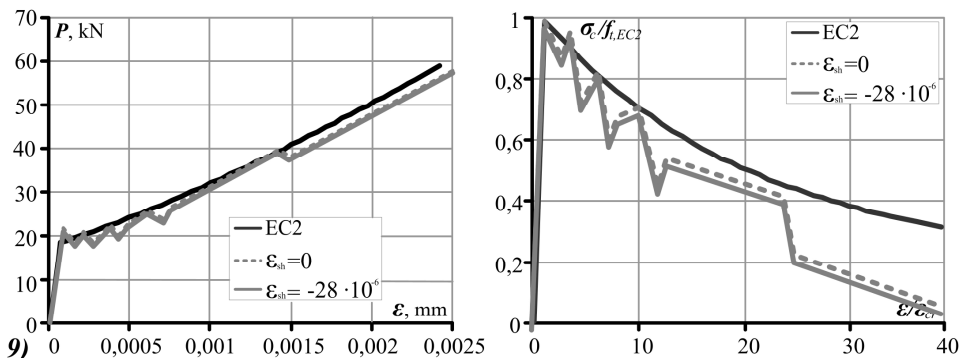
A.7 pav. Tempiamojo gelžbetoninio elemento P6B apkrovos-deformacijų ir įtempių-deformacijų diagramos

Fig. A.7. Unaxial tension RC element P6B load-strain and stress-strain diagrams



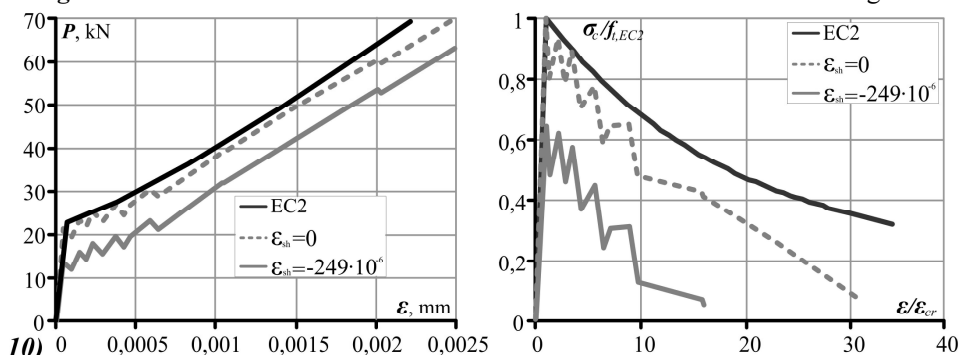
A.8 pav. Tempiamojo gelžbetoninio elemento 15MB apkrovos-deformacijų ir įtempių-deformacijų diagramos

Fig. A.8. Unaxial tension RC element 15MB load-strain and stress-strain diagrams



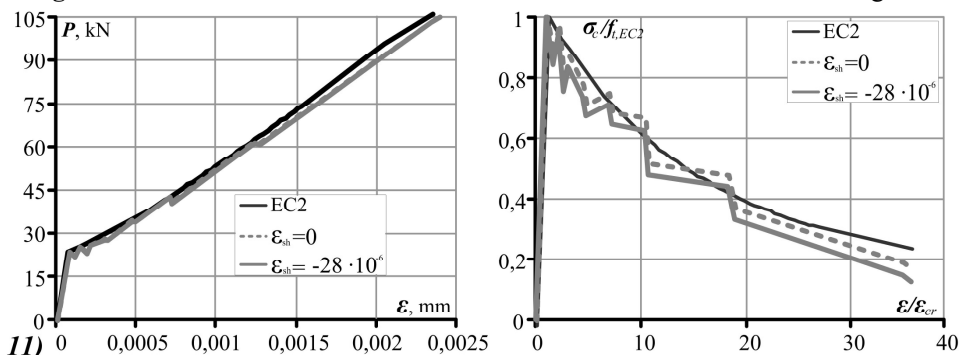
A.9 pav. Tempiamojo gelžbetoninio elemento STN 12 apkrovos-deformacijų ir įtempių-deformacijų diagramos

Fig. A.9. Uniaxial tension RC element STN 12 load-strain and stress-strain diagrams



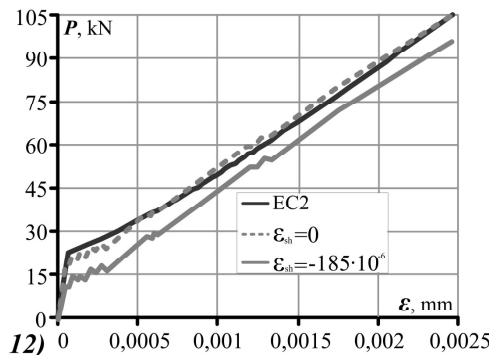
A.10 pav. Tempiamojo gelžbetoninio elemento STS 12 apkrovos-deformacijų ir įtempių-deformacijų diagramos

Fig. A.10. Uniaxial tension RC element STS 12 load-strain and stress-strain diagrams



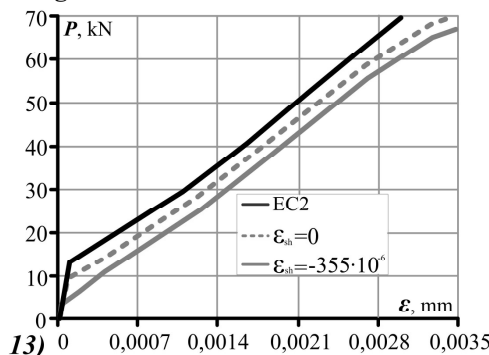
A.11 pav. Tempiamojo gelžbetoninio elemento STN 16 apkrovos-deformacijų ir įtempių-deformacijų diagramos

Fig. A.11. Uniaxial tension RC element STN 16 load-strain and stress-strain diagrams



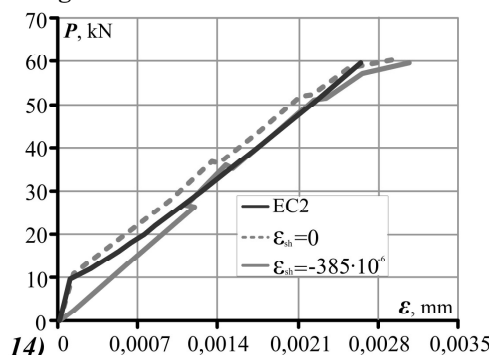
A.12 pav. Tempiamojo gelžbetoninio elemento STS 16 apkrovos-deformacijų ir įtempių-deformacijų diagramos

Fig. A.12. Uniaxial tension RC element STS 16 load-strain and stress-strain diagrams



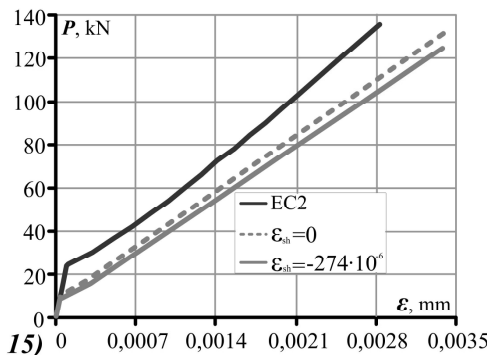
A.13 pav. Tempiamojo gelžbetoninio elemento 1 NSC apkrovos-deformacijų ir įtempių-deformacijų diagramos

Fig. A.13. Uniaxial tension RC element 1 NSC load-strain and stress-strain diagrams



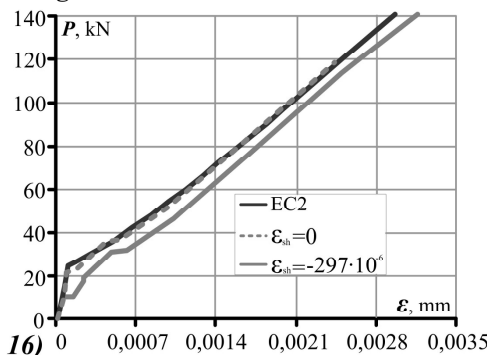
A.14 pav. Tempiamojo gelžbetoninio elemento 2 NSC apkrovos-deformacijų ir įtempių-deformacijų diagramos

Fig. A.14. Uniaxial tension RC element 2 NSC load-strain and stress-strain diagrams



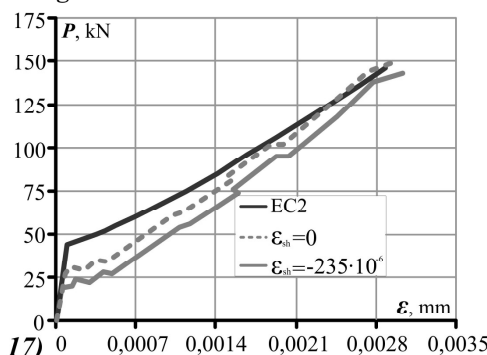
A.15 pav. Tempiamojo gelžbetoninio elemento 3 NSC apkrovos-deformacijų ir įtempių-deformacijų diagramegos

Fig. A.15. Unaxial tension RC element 3 NSC load-strain and stress-strain diagrams



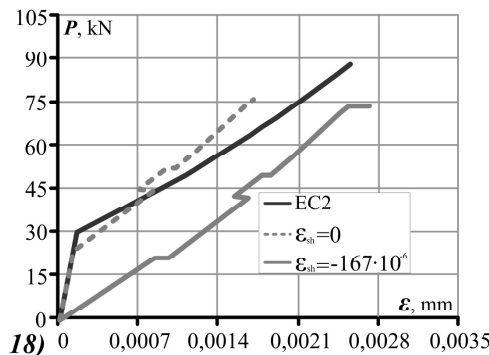
A.16 pav. Tempiamojo gelžbetoninio elemento 4 NSC apkrovos-deformacijų ir įtempių-deformacijų diagramegos

Fig. A.16. Unaxial tension RC element 4 NSC load-strain and stress-strain diagrams



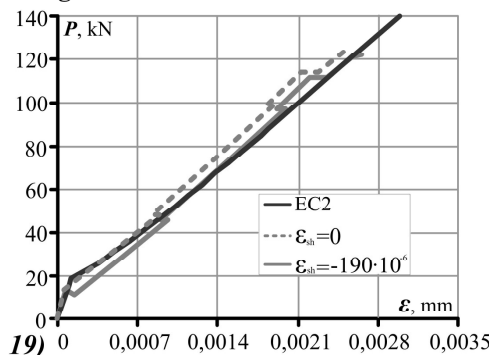
A.17 pav. Tempiamojo gelžbetoninio elemento 5 NSC apkrovos-deformacijų ir įtempių-deformacijų diagramegos

Fig. A.17. Unaxial tension RC element 5 NSC load-strain and stress-strain diagrams



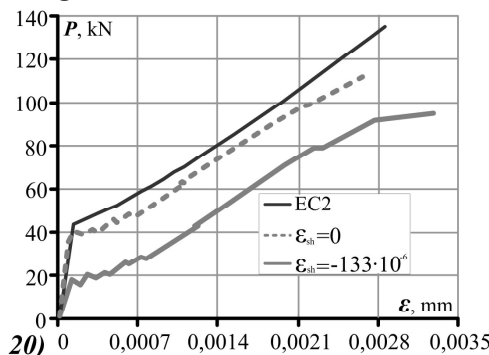
A.18 pav. Tempiamojo gelžbetoninio elemento 1 HSC apkrovos-deformacijų ir įtempių-deformacijų diagramos

Fig. A.18. Unaxial tension RC element 1 HSC load-strain and stress-strain diagrams



A.19 pav. Tempiamojo gelžbetoninio elemento 2 HSC apkrovos-deformacijų ir įtempių-deformacijų diagramos

Fig. A.19. Unaxial tension RC element 2 HSC load-strain and stress-strain diagrams



A.20 pav. Tempiamojo gelžbetoninio elemento 3 HSC apkrovos-deformacijų ir įtempių-deformacijų diagramos

Fig. A.20. Unaxial tension RC element 3 HSC load-strain and stress-strain diagrams

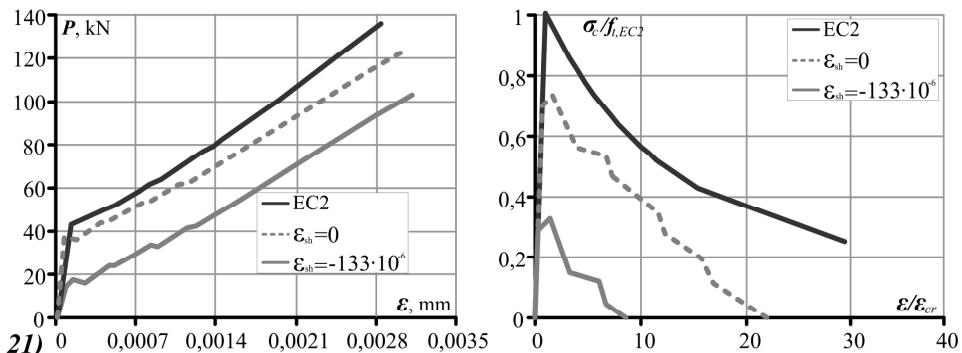


Fig. A.21. Uniaxial tension RC element 4 HSC load-strain and stress-strain diagrams

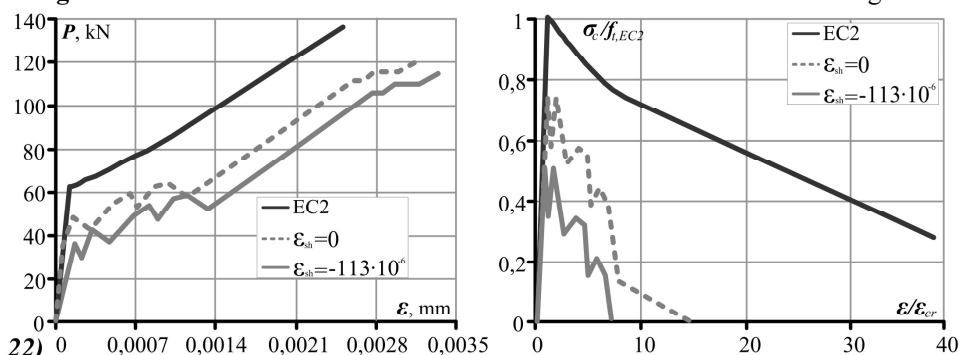


Fig. A.22. Uniaxial tension RC element 5 HSC load-strain and stress-strain diagrams

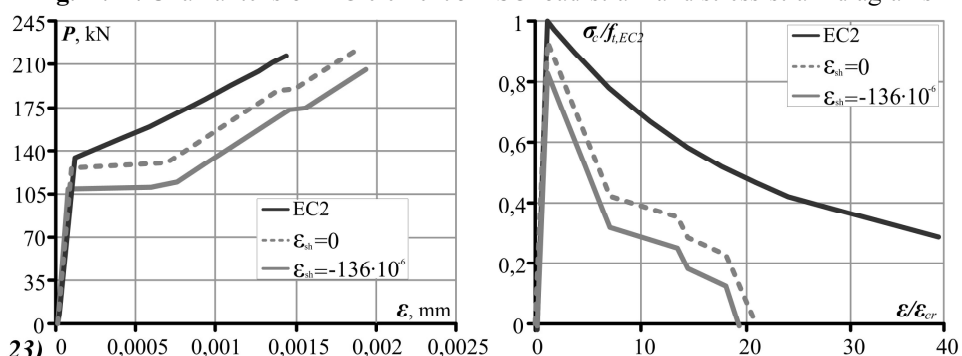
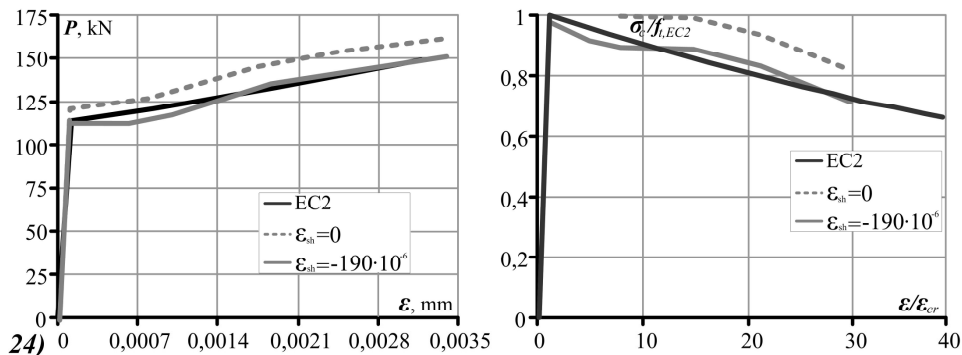
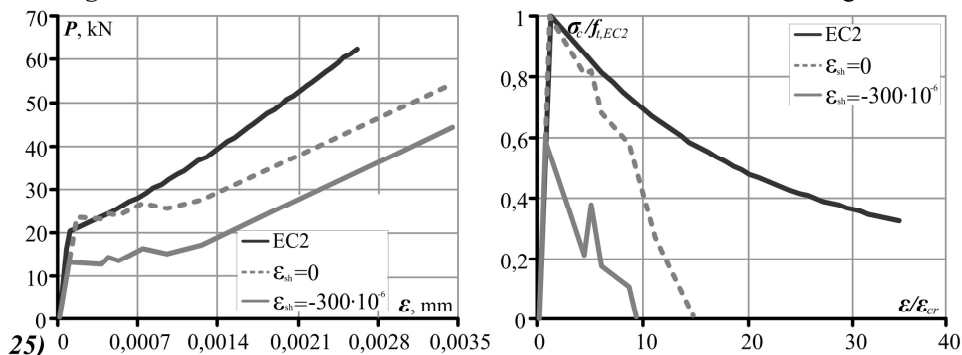


Fig. A.23. Uniaxial tension RC element A load-strain and stress-strain diagrams



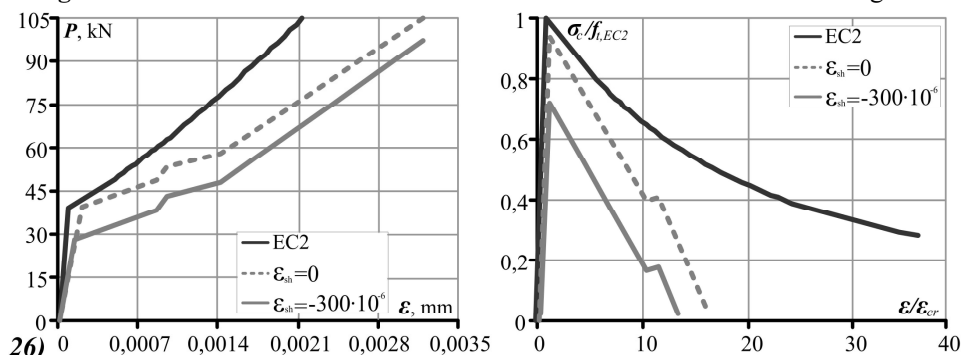
A.24 pav. Tempiamojo gelžbetoninio elemento B apkrovos-deformacijų ir įtempių-deformacijų diagramos

Fig. A.24. Uniaxial tension RC element B load-strain and stress-strain diagrams



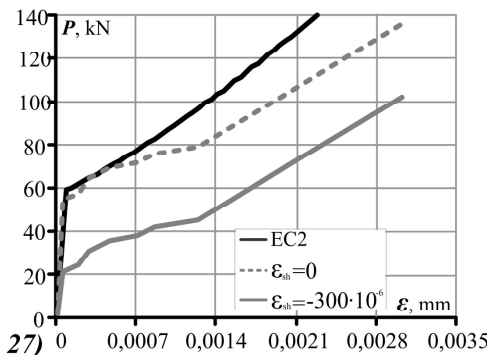
A.25 pav. Tempiamojo gelžbetoninio elemento UC-10 apkrovos-deformacijų ir įtempių-deformacijų diagramos

Fig. A.25. Uniaxial tension RC element UC-10 load-strain and stress-strain diagrams



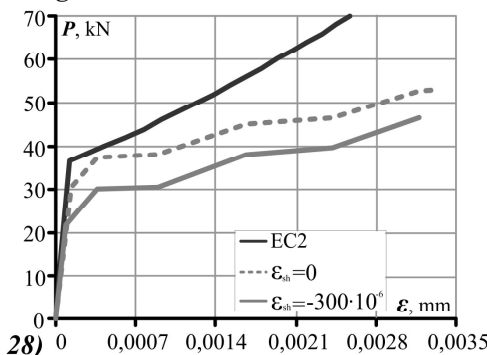
A.26 pav. Tempiamojo gelžbetoninio elemento UC-15 apkrovos-deformacijų ir įtempių-deformacijų diagramos

Fig. A.26. Uniaxial tension RC element UC-15 load-strain and stress-strain diagrams



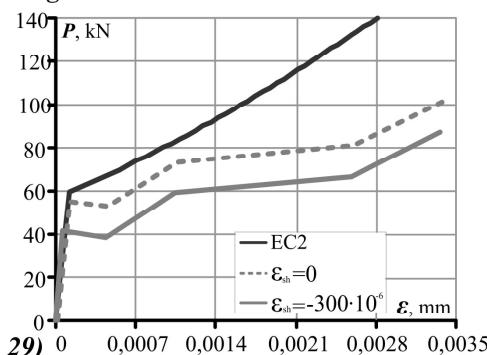
A.27 pav. Tempiamojo gelžbetoninio elemento UC-20 apkrovos-deformacijų ir įtempiu-deformacijų diagramos

Fig. A.27. Unaxial tension RC element UC-20 load-strain and stress-strain diagrams



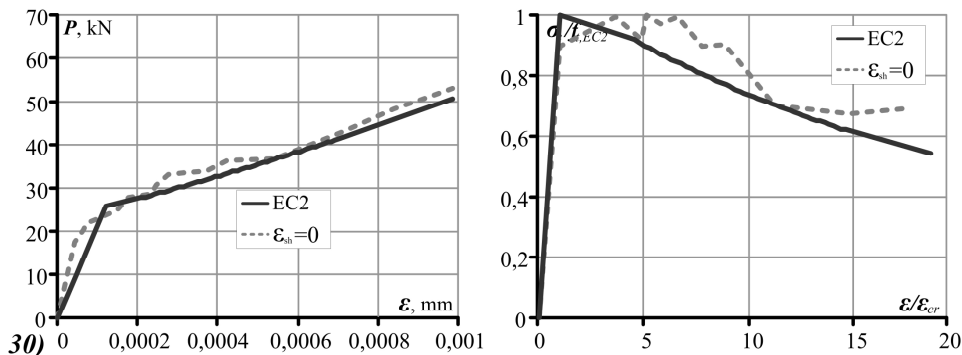
A.28 pav. Tempiamojo gelžbetoninio elemento HUC-10 apkrovos-deformacijų ir įtempiu-deformacijų diagramos

Fig. A.28. Unaxial tension RC element HUC-10 load-strain and stress-strain diagrams



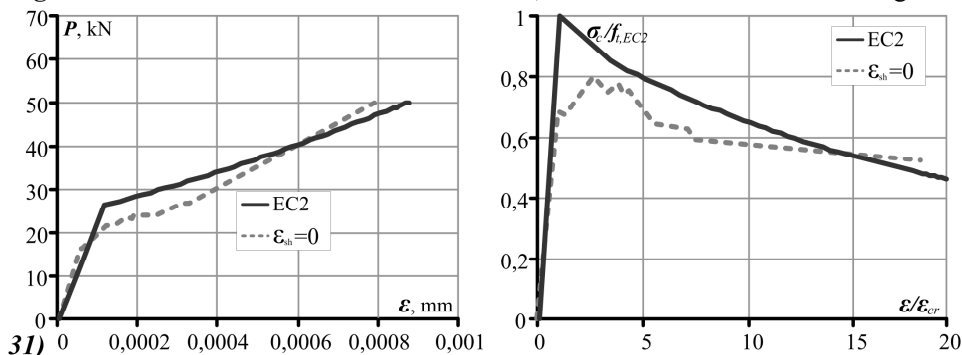
A.29 pav. Tempiamojo gelžbetoninio elemento HUC-15 apkrovos-deformacijų ir įtempiu-deformacijų diagramos

Fig. A.29. Unaxial tension RC element HUC-15 load-strain and stress-strain diagrams



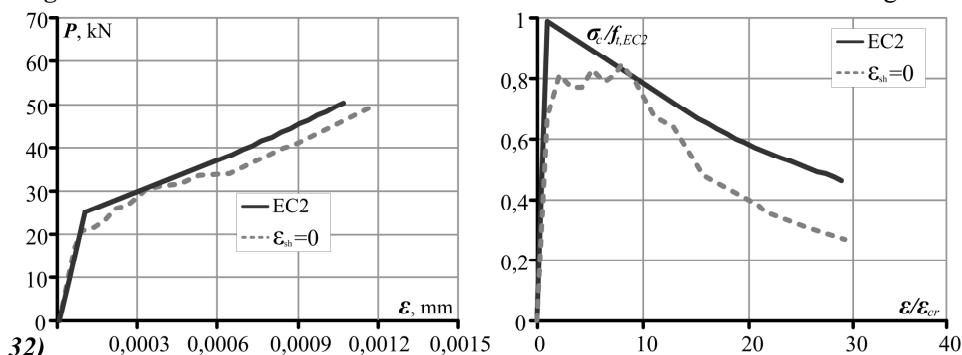
A.30 pav. Tempiamojo gelžbetoninio elemento NSC 3×9,5 apkrovos-deformacijų ir įtempių-deformacijų diagramos

Fig. A.30. Unaxial tension RC element NSC 3×9,5 load-strain and stress-strain diagrams



A.31 pav. Tempiamojo gelžbetoninio elemento NSC 7×6 apkrovos-deformacijų ir įtempių-deformacijų diagramos

Fig. A.31. Unaxial tension RC element NSC 7×6 load-strain and stress-strain diagrams



A.32 pav. Tempiamojo gelžbetoninio elemento HSC 3×9,5 apkrovos-deformacijų ir įtempių-deformacijų diagramos

Fig. A.32. Unaxial tension RC element HSC 3×9,5 load-strain and stress-strain diagrams

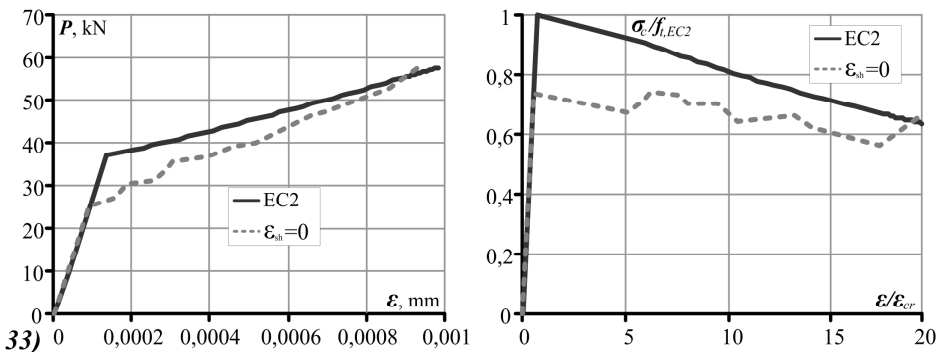


Fig. A.33. Unaxial tension RC element HSC 5×7 load-strain and stress-strain diagrams

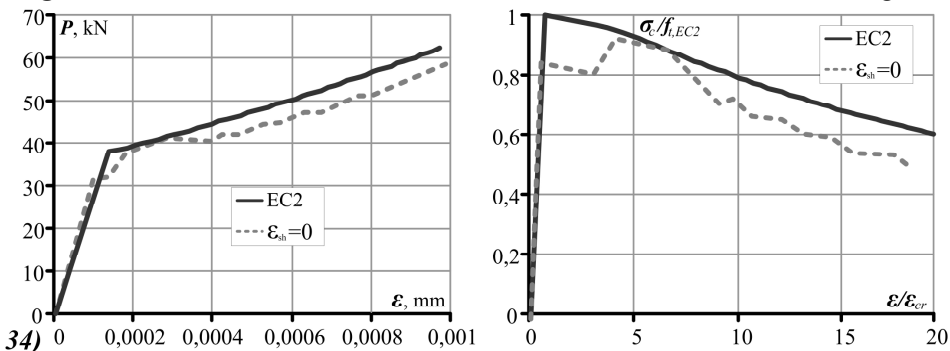


Fig. A.34. Unaxial tension RC element HSC 7×6 load-strain and stress-strain diagrams

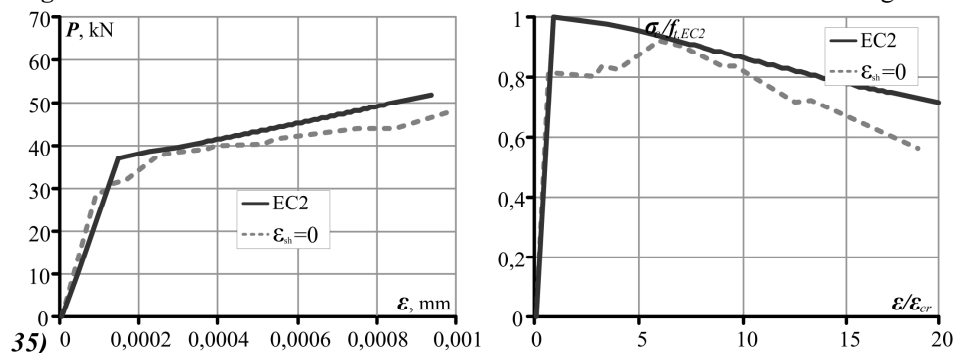


Fig. A.35. Unaxial tension RC element HSC 5×6 load-strain and stress-strain diagrams

Eksperimentinių bandinių charakteristikos pateiktos 4.1 lentelėje.

B priedas. Skaitinių ir palyginamujų skaičiavimų taikant pasiūlytuosius medžiagų modelius gauti rezultatai

B.1 lentelė. Palyginamosios analizės statistika (vidurkis ir variacijos koeficientas) pagal EC2 deformacijų skaičiavimo metodiką, duomenis sugrupavus pagal armavimo koeficientą

Table B.1. Basic statistics (mean and standard deviation) for EC2 deformation calculation techniques grouped by reinforced ratio

$\rho \leq 1,5 \%$										
P'	0,1	0,2	0,3	0,4	0,5	0,6	0,7	0,8	0,9	1,0
m_A	0,396	0,453	0,475	0,520	0,546	0,574	0,528	0,536	0,552	0,558
s_A^2	0,445	0,440	0,347	0,354	0,332	0,336	0,238	0,222	0,232	0,239
m_A^*	0,702	0,704	0,738	0,759	0,774	0,789	0,752	0,721	0,708	0,713
s_A^{2*}	0,462	0,422	0,300	0,291	0,260	0,269	0,215	0,197	0,216	0,207
$\rho > 1,5 \%$										
P'	0,1	0,2	0,3	0,4	0,5	0,6	0,7	0,8	0,9	1,0
m_A	0,579	0,626	0,660	0,708	0,705	0,737	0,758	0,776	0,790	0,800
s_A^2	0,326	0,237	0,213	0,199	0,197	0,158	0,141	0,132	0,126	0,119
m_A^*	0,957	0,884	0,863	0,925	0,939	0,956	0,934	0,965	0,973	0,994
s_A^{2*}	0,375	0,264	0,275	0,211	0,191	0,178	0,215	0,157	0,145	0,190

* – apskaičiuotieji vidurkis ir variacijos koeficientas eliminavus betono susitraukimą

B.2 lentelė. Palyginamosios analizės statistika (vidurkis ir variacijos koeficientas) pagal kitus normų metodų ir fizinių modelių deformacijų skaičiavimo metodikas, duomenis sugrupavus pagal armavimo koeficientą

Table B.2. Basic statistics (mean and standard deviation) for analytical deformation calculation techniques grouped by reinforced ratio

	$\rho \leq 1,5 \%$										
	P'	0,1	0,2	0,3	0,4	0,5	0,6	0,7	0,8	0,9	1,0
<i>CEB-FIP</i>	m_A	0,644	0,696	0,686	0,699	0,699	0,702	0,643	0,633	0,629	0,624
	s_A^2	0,803	0,591	0,395	0,362	0,318	0,308	0,218	0,192	0,194	0,201
<i>Hsu</i>	m_A	1,119	0,969	0,852	0,844	0,829	0,826	0,767	0,750	0,739	0,727
	s_A^2	0,906	0,617	0,337	0,318	0,279	0,273	0,179	0,155	0,153	0,168
<i>Collins & Mitchell</i>	m_A	0,853	0,767	0,685	0,693	0,692	0,700	0,683	0,645	0,642	0,637
	s_A^2	0,721	0,514	0,292	0,285	0,259	0,259	0,183	0,161	0,164	0,177
<i>Fields & Bischoff</i>	m_A	0,922	0,901	0,852	0,875	0,883	0,895	0,858	0,850	0,850	0,831
	s_A^2	0,613	0,461	0,272	0,273	0,256	0,260	0,213	0,199	0,205	0,191

B.2 lentelės pabaiga

		$\rho > 1,5 \%$										
		P^c	0,1	0,2	0,3	0,4	0,5	0,6	0,7	0,8	0,9	1,0
<i>CEB-FIP</i>	m_A	0,854	0,818	0,788	0,807	0,769	0,780	0,787	0,794	0,798	0,801	
	s_A^2	0,543	0,240	0,188	0,173	0,172	0,120	0,111	0,108	0,106	0,103	
<i>Hsu</i>	m_A	1,075	0,921	0,875	0,898	0,852	0,858	0,862	0,866	0,868	0,868	
	s_A^2	0,628	0,248	0,199	0,178	0,178	0,115	0,108	0,105	0,104	0,102	
<i>Collins & Mitchell</i>	m_A	0,912	0,787	0,764	0,796	0,768	0,778	0,788	0,798	0,804	0,809	
	s_A^2	0,575	0,235	0,195	0,179	0,184	0,127	0,118	0,115	0,113	0,109	
<i>Fields & Bischoff</i>	m_A	0,944	0,847	0,850	0,897	0,864	0,883	0,892	0,899	0,903	0,905	
	s_A^2	0,599	0,201	0,200	0,161	0,170	0,110	0,103	0,099	0,092	0,089	

B.3 lentelė. Palyginamosios analizės statistika (vidurkis ir variacijos koeficientas) pagal įvairias sijų įlankių skaičiavimo metodikas, duomenis sugrupavus pagal armavimo koeficientą

Table B.3. Basic statistics (mean and standard deviation) for analytical deflection calculation techniques grouped by reinforced ratio

		$\rho < 0,5 \%$										
		P^c	0,1	0,2	0,3	0,4	0,5	0,6	0,7	0,8	0,9	1,0
<i>EC2</i>	m_A	1,741	1,865	1,552	1,332	1,160	1,058	1,023	0,995	0,978	0,970	
	s_A^2	0,553	0,755	0,730	0,535	0,327	0,178	0,128	0,118	0,094	0,082	
<i>SP52-101</i>	m_A	2,317	2,016	1,616	1,336	1,139	1,029	0,987	0,955	0,935	0,925	
	s_A^2	0,539	0,689	0,722	0,499	0,815	0,757	0,745	0,735	0,733	0,736	
<i>STR 2.05.05:2005</i>	m_A	1,895	1,565	1,306	1,148	1,028	0,967	0,952	0,939	0,937	0,940	
	s_A^2	0,984	0,774	0,659	0,486	0,336	0,228	0,182	0,159	0,131	0,115	
<i>CEB-FIP</i>	m_A	1,252	1,266	1,060	0,921	0,921	0,150	0,109	0,104	0,084	0,637	
	s_A^2	0,390	0,521	0,525	0,389	0,248	0,155	0,126	0,123	0,107	0,097	
<i>Collins ir Mitchell</i>	m_A	1,323	1,334	1,141	1,005	0,896	0,836	0,825	0,816	0,814	0,817	
	s_A^2	0,405	0,548	0,573	0,427	0,270	0,161	0,124	0,118	0,098	0,086	
<i>Fields ir Bischoff</i>	m_A	0,658	1,895	1,598	1,362	1,180	1,088	1,052	1,031	1,014	1,005	
	s_A^2	0,721	0,784	0,835	0,590	0,344	0,176	0,125	0,102	0,085	0,079	
<i>Hsu</i>	m_A	0,943	1,252	1,257	1,150	1,032	0,966	0,947	0,932	0,924	0,921	
	s_A^2	0,280	0,535	0,660	0,500	0,305	0,165	0,119	0,104	0,083	0,074	
<i>A modelis</i>	m_A	1,230	1,746	1,512	1,311	1,146	1,049	1,014	0,986	0,969	0,960	
	s_A^2	0,541	0,780	0,735	0,536	0,322	0,169	0,120	0,111	0,087	0,075	
<i>B modelis</i>	m_A	1,540	1,686	1,443	1,280	1,152	1,078	1,066	1,054	1,053	1,059	
	s_A^2	0,448	0,630	0,597	0,435	0,265	0,148	0,117	0,124	0,109	0,102	
		$0,5 \leq \rho \leq 1,0 \%$										
		P^c	0,1	0,2	0,3	0,4	0,5	0,6	0,7	0,8	0,9	1,0
<i>EC2</i>	m_A	1,510	1,320	1,151	1,059	1,032	1,013	0,976	0,957	0,937	0,922	
	s_A^2	0,462	0,376	0,273	0,143	0,092	0,080	0,068	0,077	0,083	0,115	
<i>SP52-101</i>	m_A	1,643	1,341	1,152	1,058	1,032	1,022	0,991	0,981	0,966	0,942	
	s_A^2	0,480	0,382	0,262	0,128	0,082	0,072	0,056	0,058	0,062	0,075	
<i>STR 2.05.05:2005</i>	m_A	1,351	1,165	0,992	0,929	0,914	0,917	0,903	0,906	0,899	0,870	
	s_A^2	0,504	0,286	0,208	0,110	0,074	0,066	0,066	0,058	0,055	0,082	
<i>CEB-FIP</i>	m_A	1,122	0,990	0,891	0,843	0,840	0,848	0,835	0,838	0,834	0,821	
	s_A^2	0,306	0,253	0,182	0,091	0,061	0,050	0,041	0,034	0,037	0,050	
<i>Collins ir Mitchell</i>	m_A	1,135	1,018	0,930	0,886	0,886	0,895	0,880	0,882	0,876	0,865	
	s_A^2	0,295	0,251	0,187	0,095	0,062	0,052	0,042	0,044	0,050	0,072	

B.3 lentelės pabaiga

<i>Fields ir Bischoff</i>	m_A	1,291	1,169	1,054	0,995	0,989	0,988	0,965	0,958	0,947	0,941
	s_A^2	0,281	0,316	0,249	0,143	0,100	0,087	0,075	0,085	0,089	0,120
<i>Hsu</i>	m_A	0,947	1,024	0,986	0,949	0,949	0,953	0,932	0,928	0,918	0,907
	s_A^2	0,227	0,230	0,205	0,114	0,077	0,067	0,056	0,064	0,069	0,096
<i>a)</i>	m_A	1,424	1,310	1,144	1,054	1,029	1,014	0,981	0,968	0,952	0,938
	s_A^2	0,471	0,362	0,265	0,137	0,087	0,074	0,061	0,069	0,074	0,101
<i>b)</i>	m_A	1,399	1,257	1,128	1,064	1,059	1,059	1,039	1,031	1,022	1,018
	s_A^2	0,448	0,399	0,290	0,152	0,097	0,081	0,067	0,080	0,091	0,129
$\rho > 1,0 \%$											
	P'	0,1	0,2	0,3	0,4	0,5	0,6	0,7	0,8	0,9	1,0
<i>EC2</i>	m_A	1,051	0,986	0,954	0,937	0,923	0,900	0,896	0,892	0,896	0,881
	s_A^2	0,146	0,085	0,079	0,076	0,064	0,067	0,073	0,072	0,052	0,066
<i>SP52-101</i>	m_A	1,070	0,983	0,956	0,945	0,938	0,921	0,910	0,904	0,894	0,862
	s_A^2	0,170	0,105	0,096	0,087	0,076	0,072	0,078	0,076	0,076	0,066
<i>STR</i>	m_A	1,030	0,993	0,986	0,990	0,995	0,984	0,991	0,995	0,957	0,974
2.05.05.2005	s_A^2	0,219	0,122	0,081	0,063	0,057	0,051	0,046	0,045	0,048	0,057
<i>CEB-FIP</i>	m_A	0,876	0,837	0,831	0,835	0,839	0,833	0,833	0,840	0,843	0,831
	s_A^2	0,112	0,063	0,058	0,050	0,038	0,040	0,045	0,040	0,032	0,032
<i>Collins ir Mitchell</i>	m_A	0,898	0,861	0,857	0,861	0,865	0,858	0,860	0,866	0,871	0,859
	s_A^2	0,108	0,065	0,059	0,053	0,040	0,043	0,049	0,045	0,034	0,037
<i>Fields ir Bischoff</i>	m_A	1,029	0,959	0,936	0,928	0,923	0,909	0,911	0,914	0,919	0,907
	s_A^2	0,164	0,117	0,098	0,088	0,070	0,067	0,071	0,066	0,051	0,059
<i>Hsu</i>	m_A	0,885	0,894	0,895	0,897	0,898	0,887	0,889	0,893	0,897	0,885
	s_A^2	0,107	0,078	0,071	0,066	0,052	0,053	0,059	0,055	0,042	0,048
<i>a)</i>	m_A	1,076	0,998	0,963	0,947	0,936	0,917	0,914	0,915	0,916	0,900
	s_A^2	0,146	0,085	0,077	0,070	0,056	0,056	0,061	0,058	0,044	0,050
<i>b)</i>	m_A	0,931	0,908	0,910	0,917	0,921	0,913	0,926	0,931	0,948	0,935
	s_A^2	0,148	0,088	0,083	0,080	0,071	0,076	0,079	0,079	0,053	0,068

Čia A modelis – pasiūlytasis tempiamojos sustandėjimo modelis lenkiamiesiems gelžbetononiams elementams; B modelis – pasiūlytasis supaprastintas kreivių skaičiavimo metodas.

B.4 lentelė. Palyginamosios analizės statistika (vidurkis ir variacijos koeficientas) skirtiniams sijos skerspjūvio tempiamosios zonas plotams, duomenis sugrupavus pagal armavimo koeficientą

Table B.4. Basic statistics (mean and standard deviation) for different beams cross – cestions tension zones areas, grouped by reinforced ratio

	M'	$\rho < 0,5 \%$									
		0,1	0,2	0,3	0,4	0,5	0,6	0,7	0,8	0,9	1,0
<i>Visa tempimo zona (a)</i>	m_A	0,717	0,601	0,477	0,415	0,383	0,371	0,386	0,392	0,409	0,429
	s_A^2	0,220	0,249	0,225	0,170	0,140	0,141	0,150	0,166	0,166	0,165
<i>Efektyvi tempimo zona (b)</i>	m_A	2,315	2,212	1,898	1,594	1,427	1,261	1,187	1,135	1,098	1,074
	s_A^2	0,597	0,440	0,714	0,483	0,369	0,178	0,122	0,112	0,091	0,082
$0,5 \leq \rho \leq 1,0 \%$											
<i>Visa tempimo zona (a)</i>	M'	0,1	0,2	0,3	0,4	0,5	0,6	0,7	0,8	0,9	1,0
	s_A^2	0,210	0,158	0,134	0,130	0,142	0,146	0,135	0,122	0,108	0,080
<i>Efektyvi tempimo zona (b)</i>	m_A	1,841	1,481	1,218	1,168	1,120	1,090	1,048	1,029	1,011	0,994
	s_A^2	0,671	0,362	0,164	0,185	0,112	0,089	0,068	0,073	0,075	0,099

B.4 lentelės pabaiga

	M'	$\rho > 1,0 \%$									
		0,1	0,2	0,3	0,4	0,5	0,6	0,7	0,8	0,9	1,0
Visa tempimo zona (a)	m_d	0,621	0,643	0,690	0,731	0,764	0,779	0,787	0,803	0,808	0,799
	s_d^2	0,104	0,104	0,105	0,094	0,083	0,073	0,067	0,059	0,057	0,047
Efektyvi tempimo zona (b)	m_d	1,255	1,092	1,033	1,009	0,996	0,978	0,978	0,981	0,977	0,968
	s_d^2	0,204	0,133	0,109	0,102	0,080	0,078	0,081	0,077	0,067	0,074

**C priedas. Bendraautorių sutikimai teikti publikacijų
medžiagą disertacijoje**

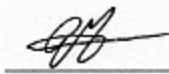
PUBLIKACIJŲ BEDRAAUTORIAUS SUTIKIMAS

Aš, Gintaris Kaklauskas, publikacijų nurodytų pateiktame sąraše, bedraautorius, pripažįstu Roko Girdžiaus autorinį indėlį bendroje publikacijoje ir neprieštaraujū, kad bendraautorius publikacijoje skelbtą medžiagą, jo autorinio indėlio ribose, teiktą savo mokslo daktaro disertacijoje „Betono tempiamojo sustandėjimo modelis atitinkantis Euronormų nuostatas“.

Publikacijų sąrašas:

1. Kaklauskas, G.; Gribniak, V.; Girdžius, R. 2011. Average Stress – Average Strain Tension Stiffening Relationships Based on Provisions of Design Codes. *Journal of Zhejiang University – SCIENCE A* Vol.12 No.10: 731–736. ISSN 1673-565X (print), ISSN 1862-1775 (online). (ISI Web of Science).
2. Kaklauskas, G.; Bacinskas, D.; Girdžius, R.; Sokolov, A. 2008 Numerical Deformation Analysis of Bridge Concrete Girders. *The Baltic Journal of Road and Bridge Engineering*, 3(2): 51–56. ISSN 1822-427X (print), ISSN 1822-4288 (online). (ISI Web of Science).
3. Girdžius, R.; Kaklauskas, G.; Zamblauskaitė, R.; Jakubovskis, R. 2011. Naujasis lenkiamojos gelžbetoninio elemento, veikiamo trumpalaikės apkrovos, kreivių apskaičiavimo metodas, *Statybinės konstrukcijos ir technologijos* 3(3): 112–122. ISSN 2029-2317 (print), ISSN 2029-2325 (online).
4. Girdžius, R.; Kaklauskas, G.; Zamblauskaitė, R. 2007. Centriškai tempiamo gelžbetoninio elemento betono įtempių ir deformacijų priklausomybė pagal EC2, *Ūkio technologinis ir ekonominis vystymas* 13(2): 109–113. ISSN 2029-4913 (print), ISSN 2029-4921 (online).
5. Kaklauskas, G.; Gribniak, V.; Girdžius, R.; Vainiūnas, P.; Bačinskas, D. 2010. Tension – stiffening relationships based on design code provisions, in *proceedings of the Third international congress and exhibition (FIB) incorporating the PCI annual convention & bridge conference*. Washington: 1–8.

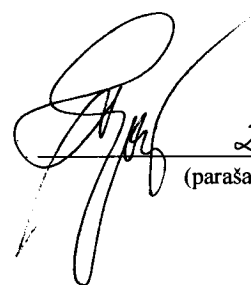
Gintaris Kaklauskas

 2011 11 11
(parašas, data)

PUBLIKACIJOS BEDRAAUTORIAUS SUTIKIMAS

Aš, Povilas Vainiūnas, publikacijos „Tension-stiffening relationships based on design code provisions“ bedraautorius, pripažistu Roko Girdžiaus autorinį indėlį bendrose publikacijoje ir neprieštaraujų, kad bendraautorius publikacijose skelbtą medžiagą, jo autorinio indėlio ribose, teiktų savo mokslo daktaro disertacijoje „Betono tempiamojo sustandėjimo modelis atitinkantis Euronormų nuostatas“.

Povilas Vainiūnas



2011 11 21
(parašas, data)

PUBLIKACIJŲ BEDRAAUTORIAUS SUTIKIMAS

Aš, Viktor Gribniak, publikacijų nurodytų pateiktame sąraše, bedraautorius, pripažįstu Roko Girdžiaus autorinį indėlį bendrose publikacijose ir neprieštaraujū, kad bendraautorius publikacijose skelbtą medžiagą, jo autorinio indėlio ribose, teiktą savo mokslo daktaro disertacijoje „Betono tempiamojos sustandėjimo modelis atitinkantis Euronormų nuostatas“.

Publikacijų sąrašas:

1. Kaklauskas, G.; Gribniak, V.; Girdžius, R. 2011. Average Stress – Average Strain Tension Stiffening Relationships Based on Provisions of Design Codes. *Journal of Zhejiang University – SCIENCE A* Vol.12 No.10: 731–736. ISSN 1673-565X (print), ISSN 1862-1775 (online). (ISI Web of Science).
2. Girdžius, R.; Gribniak, V. 2005. Betono traukimosi įtaka tempiamujų gelžbetoninių elementų deformacijoms, iš 8-osios *Lietuvos jaunųjų mokslininkų konferencijos „Lietuva be mokslo – Lietuva be ateities“ medžiaga*. Vilnius: technika, 177–181. ISBN 9986058937.
3. Gribniak, V.; Girdžius, R. 2005. Baigtinių elementų (BE) dydžio ir formos įtaka tempiamujų G/B elementų deformacijų skaičiavimo rezultatams, iš 8-osios *Lietuvos jaunųjų mokslininkų konferencijos „Lietuva be mokslo – Lietuva be ateities“ medžiaga*. Vilnius: technika, 181–186. ISBN 9986058937.
4. Kaklauskas, G.; Gribniak, V.; Girdžius, R.; Vainiūnas, P.; Bačinskas, D. 2010. Tension – stiffening relationships based on design code provisions, in *proceedings of the Third international congress and exhibition (FIB) incorporating the PCI annual convention & bridge conference*. Washington: 1–8.

Viktor Gribniak



2011-11-22

(parašas, data)

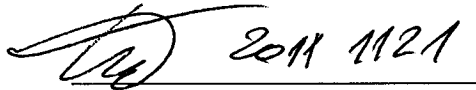
PUBLIKACIJŲ BEDRAAUTORIAUS SUTIKIMAS

Aš, Darius Bačinskas, publikacijų nurodytų pateiktame sąraše, bedraautorius, pripažįstu Roko Girdžiaus autorinį indėlį bendrose publikacijose ir nepriestaraujų, kad bendraautorius publikacijose skelbtą medžiagą, jo autorinio indėlio ribose, teiktą savo mokslo daktaro disertacijoje „Betonu tempiamojo sustandėjimo modelis atitinkantis Euronormų nuostatas“.

Publikacijų sąrašas:

1. Kaklauskas, G.; Bacinskas, D.; Girdžius, R.; Sokolov, A. 2008 Numerical Deformation Analysis of Bridge Concrete Girders. *The Baltic Journal of Road and Bridge Engineering*, 3(2): 51–56. ISSN 1822-427X (print), ISSN 1822-4288 (online). (ISI Web of Science).
2. Kaklauskas, G.; Gribniak, V.; Girdžius, R.; Vainiūnas, P.; Bačinskas, D. 2010. Tension – stiffening relationships based on design code provisions, in *proceedings of the Third international congress and exhibition (FIB) incorporating the PCI annual convention & bridge conference*. Washington: 1–8.

Darius Bačinskas



2011 1121

(parašas, data)

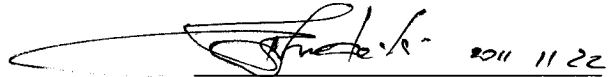
PUBLIKACIJŲ BEDRAAUTORIAUS SUTIKIMAS

Aš, Renata Zamblauskaitė, publikacijų nurodytų pateiktame sąraše, bedraautorius, pripažįstu Roko Girdžiaus autorinį indėlį bendrose publikacijose ir neprieštarauju, kad bendraautorius publikacijose skelbtą medžiagą, jo autorinio indėlio ribose, teiktą savo mokslo daktaro disertacijoje „Betono tempiamojo sustandėjimo modelis atitinkantis Euronormų nuostatas“.

Publikacijų sąrašas:

1. Girdžius, R.; Kaklauskas, G.; Zamblauskaitė, R.; Jakubovskis, R. 2011. Naujasis lenkiamojos gelžbetoninio elemento, veikiamo trumpalaikės apkrovos, kreivių apskaičiavimo metodas, *Statybinės konstrukcijos ir technologijos* 3(3): 112–122. ISSN 2029-2317 (print), ISSN 2029-2325 (online).
2. Girdžius, R.; Kaklauskas, G.; Zamblauskaitė, R. 2007. Centriškai tempiamo gelžbetoninio elemento betono įtempių ir deformacijų priklausomybė pagal EC2, *Ūkio technologinis ir ekonominis vystymas* 13(2): 109–113. ISSN 2029-4913 (print), ISSN 2029-4921 (online).

Renata Zamblauskaitė



(parašas, data)

PUBLIKACIJOS BEDRAAUTORIAUS SUTIKIMAS

Aš, Aleksandr Sokolov, publikacijos „Numerical Deformation Analysis of Bridge Concrete Girders“ bedraautorius, pripažįstu Roko Girdžiaus autorinį indėlį bendrose publikacijose ir neprieštaraujų, kad bendraautorius publikacijose skelbtą medžiagą, jo autorinio indėlio ribose, teiktą savo mokslo daktaro disertacijoje „Betono tempiamojo sustandėjimo modelis atitinkantis Euronormų nuostatas“.

Aleksandr Sokolov



2011-11-21
(parašas, data)

PUBLIKACIJOS BEDRAAUTORIAUS SUTIKIMAS

Aš, Ronaldas Jakubovskis, publikacijos „Naujasis lenkiamojo gelžbetoninio elemento, veikiamo trumpalaikės apkrovos, kreivų apskaičiavimo metodas“ bedraautorius, pripažįstu Roko Girdžiaus autorinį indėlį bendrose publikacijoje ir neprieštarauju, kad bendraautorius publikacijoje skelbtą medžiagą, jo autorinio indėlio ribose, teiktą savo mokslo daktaro disertacijoje „Betono tempiamingo sustandėjimo modelis atitinkantis Euronormų nuostatas“.

Ronaldas Jakubovskis


2011 11 21
(parašas, data)